

Литература

- [1] А. П. Казанцев. ЖЭТФ, 51, 175, 1966.
[2] А. Омонт, И. Менпир. Phys. Rev., 169, 92, 1968.
[3] Ю. А. Вдовин, В. М. Галицкий. ЖЭТФ, 52, 1345, 1967.
[4] Ю. А. Вдовин, Н. А. Добродеев. ЖЭТФ, 55, 1047, 1968.
[5] В. Н. Фадеева, Н. М. Терентьев. Таблицы значений интеграла вероятностей. Гостехиздат, М., 1945.

Поступило в Редакцию 30 мая 1969 г.

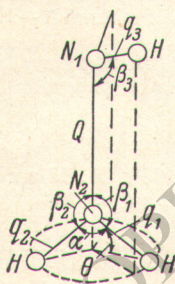
УДК 539.194

О ЧАСТОТАХ ВАЛЕНТНЫХ КОЛЕБАНИЙ N—H ГИДРАЗИДОВ КАРБОНОВЫХ КИСЛОТ

С. И. Чекушин и Е. В. Титов

В области валентных колебаний связей N—H в ИК спектрах гидразидов карбоновых кислот R—CO—NH—NH₂ регистрируются две полосы поглощения при ~3330 и ~3450 см⁻¹ [1, 2] вместо трех ожидаемых. Аналогичная картина наблюдается и в спектрах других соединений, молекулы которых содержат фрагмент —NH—NH₂, причем положение указанных полос для каждого класса соединений мало зависит от заместителей.

Теоретическое исследование молекул гидразидов в целом представляется весьма затруднительным, поэтому для выяснения отмеченной выше особенности спектра объектом рассмотрения была выбрана группа —NH—NH₂. Из дальнейшего будет видно, что даже такая упрощенная модель позволяет получить ответ на вопрос о при-



Геометрия и естественные координаты группы
—NH—NH₂

Таблица 1
Нормированные формы
валентных колебаний N—H

ν в см ⁻¹	q_8	q_{a8}	q_3
3336	1.00	—	—
3412	—	-0.88	0.56
3419	—	0.56	0.88

чине исчезновения одной из полос валентных колебаний N—H в ИК спектрах рассматриваемых соединений. По обычной схеме [3] были рассчитаны частоты нормальных колебаний группы —NH—NH₂. За основу бралась конфигурация молекулы гидразина [4] со следующими геометрическими параметрами: $R(N—N) = 1.449 \text{ \AA}$, $r(N—H) = 1.022 \text{ \AA}$, $\alpha(\text{NNH}) = 106^\circ$, $\beta(\text{NNH}) = 112^\circ$, $\theta = 90^\circ$.

Координаты изменения межъядерных расстояний Q и q_i и валентных углов α и β , приведены на рисунке. Силовые коэффициенты (в 10^6 см^{-2}) $K_{q_1} = K_{q_2} = 10.77$, $K_{qq} = 0.05$, $K_{aq} = 0.40$, $K_{\beta q} = 0.47$ были взяты из [5], все остальные — из работы [4]. Силовая постоянная K_{q_3} была выбрана на 0.2 больше, чем $K_{q_1} = K_{q_2}$, так как связи первого атома азота (N_1) в гидразидах имеют большой π -характер по сравнению со связями атома N_2 . Основные результаты расчетов приведены в табл. 1 и 2.

Из табл. 1, где представлены нормированные формы интересующих нас колебаний N—H, следует, что симметричное валентное колебание N—H первичной аминогруппы строго характеристично, тогда как ее антисимметричное колебание сильно взаимодействует с валентным колебанием группы $>\text{N—H}$. Результатом взаимодействия этих колебаний и обмена энергией между ними является то, что в спектре они не разделяются. Кроме того, благодаря сильному взаимодействию два последних колеба-

Таблица 2
Отнесение частот нормальных колебаний фрагмента — NH—NH₂

$\nu_{\text{выч.}}, \text{см}^{-1}$	Отнесение	Гидразин [1]		Метиламин [5, 6]	
		$\nu_{\text{опыт}}, \text{см}^{-1}$	$\nu_{\text{выч.}}, \text{см}^{-1}$	$\nu_{\text{опыт}}, \text{см}^{-1}$	$\nu_{\text{выч.}}, \text{см}^{-1}$
3419	q_3 (NH)	3350	3339	3427	3430
3412	q_{as} (NH)	3325	3337	—	—
3336	q_s (NH)	3280	3307	3361	3368
1065	Q (NN), β (NNH)	1082	1107	1130	1095
1483	α (HNH), β (NNH)	1587	1565	1473	1475
825	β (NNH), α (HNH), Q (NN)	780	759	1044	1058
1195	β (NNH)	1275	1275	1185	1200
556	β (NNH), α (HNH)	966	954	780	784

ния в отличие от q_s не будут характеристичными, будут заметно реагировать на внутренние (различные заместители) и внешние (различные растворители) воздействия, но их расщепления не произойдет. Отсутствие необходимого количества экспериментальных данных не позволяет улучшить принятую нами силовое поле. Данные же табл. 2 свидетельствуют о правомерности применения нашей сильно упрощенной модели: найденные нами частоты разумно согласуются с частотами молекул, силовые, постоянные которых были использованы в расчете. Исключение составляет частота 556 см⁻¹, низкое значение которой объясняется нарушением силового поля в результате того, что была отброшена одна из связей.

Улучшению принятой здесь модели и изучению влияния различных возмущений, в том числе и водородной связи, на частоты валентных колебаний N—H мы посвятим специальное исследование.

В заключение авторы считают своим приятным долгом выразить глубокую признательность А. М. Богомолову за дискуссию и интерес к работе.

Литература

- [1] D. Prevorgšek. Bull. Soc. chim. France, 795, 1958; M. Mashima. Bull. Soc. chem. Japan, 35, 1882, 1962; 35, 332, 1960; J. Aage. Acta Polytech. Scand. Chem. incl. metallurgy ser., 42, 1, 1965.
- [2] Е. В. Титов, А. П. Греков, В. И. Рыбаченко, В. Н. Шевченко. ТЭХ, 4, 742, 1968.
- [3] М. В. Волькенштейн, М. А. Ельяшевич, Б. И. Степанов. Колебания молекул, 1. ГИТГЛ, М.—Л., 1949.
- [4] Ю. И. Котов, П. С. Коптев, В. М. Татевский. Матер. XV совещ. по спектроскопии. 1, 125, 1963.
- [5] М. Р. Ягудаев, Е. М. Попов, Н. Б. Яковлев, Ю. Н. Шейнкер. Изв. АН СССР, сер. хим., 7, 1189, 1964.
- [6] A. Dellepiane, G. Zerbini. J. Chem. Phys., 48, 3573, 1968.

Поступило в Редакцию 2 июня 1969 г.

УДК 535.417 : 621.375.9 : 535

ЛОЖНАЯ ИНФОРМАЦИЯ В СИГНАЛЕ СКАНИРУЮЩЕГО ИНТЕРФЕРОМЕТРА

Д. А. Соломаха и А. К. Торопов

Методика спектрометрии излучения газового лазера с помощью сканирующих интерферометров (разных геометрий) описана в работах [1–3]. Для устранения ложной информации в сигнале интерферометра производится соответствующий выбор диафрагм, формирующих аппаратную функцию интерферометра, и точное выставление последнего по пучку анализируемого излучения. Практически, однако, устранение ложного сигнала не всегда достижимо и не всегда оправдано.